

8 Prospección Arqueológica en los Grupos G, B, y C.

Flavio G. Silva de la Mora

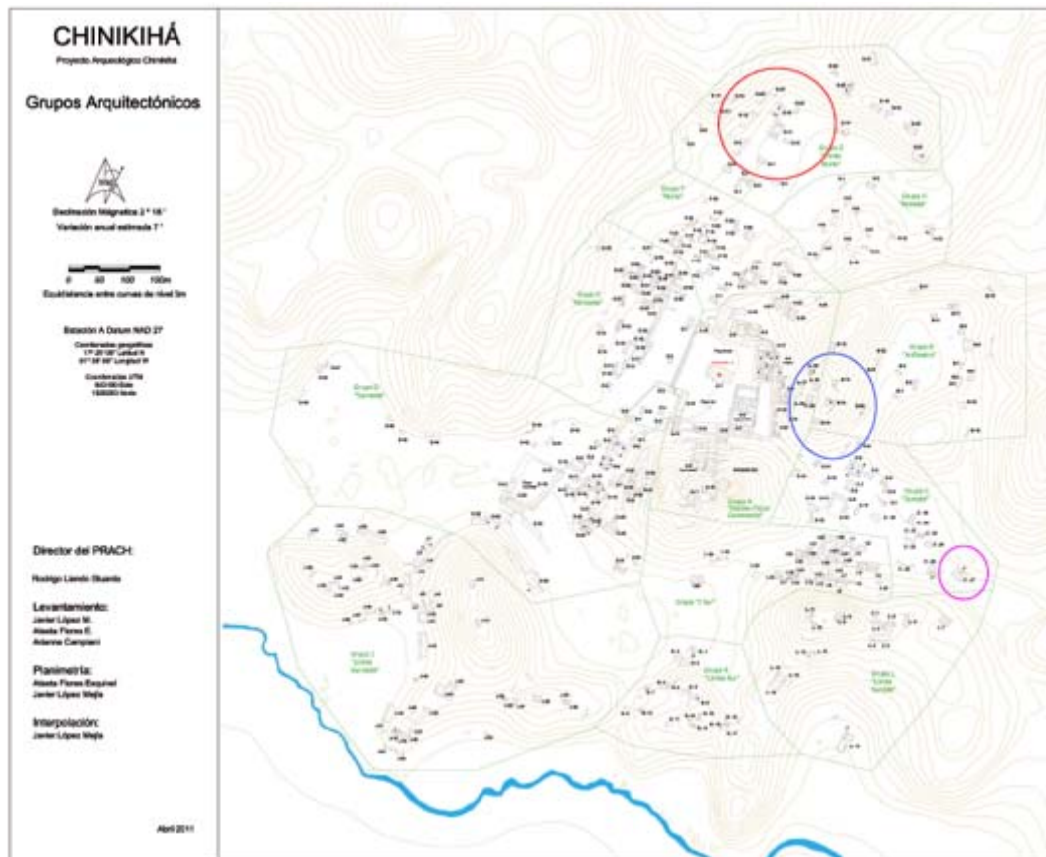


Fig. 8. 1 Mapa de Chinikihá con áreas investigadas: Grupo G-rojo, Grupo B-azul, Grupo C-violeta (PRACH-IIA-UNAM)

Introducción

Parte de las investigaciones llevadas a cabo por el PRACH tienen como objetivo entender distintas zonas de actividad y habitacionales del sitio arqueológico de Chinikihá y su zona de sustentación. Esto nos llevó a comenzar la prospección inicial de dos grupos arquitectónicos distintos durante la temporada del 2011: los Grupos G y B que se escogieron por la identificación material en superficie que presentaba características o rasgos arqueológicos relacionados con áreas de actividad y producción lítica. Inicialmente, esto permitirá entender dos zonas distintas del sitio que presentan características de producción lítica, lo que permitirá abordar otras cuestiones como economía y prácticas comunales.

Se inició el trabajo en el Grupo G, donde se llevaron a cabo dos operaciones de prospección para conocer la deposición arqueológica y características de la zona de estudio: se hicieron una operación de 2X2 m (Op. 165), una de 1X1 m (Op. 176). También se hicieron pruebas de pala con la idea de mejor entender la dispersión de material arqueológico, su disposición en el espacio, e inferir las posibles zonas de excavación a futuro. En el Grupo B, la segunda zona con características de producción lítica también fue prospectada por medio de pruebas de pala y una operación de prospección de 1X1 (Op. 172) m. En las excavaciones se llevó un control estratigráfico cada 10 cm, observando la estratificación y las capas naturales. Además se localizó otra posible zona de actividad de producción en el grupo D. Esta zona se excavó durante la presente temporada por integrantes del equipo, por lo que se decidió concentrarse en otras áreas del sitio donde no se había hecho prospección.

Así mismo se hizo una operación de prospección en el Grupo C, la cual se explica en la última parte del informe. Todas las operaciones fueron levantadas con un teodolito y anexadas a la base de datos del PRACH. El trabajo para las operaciones y pozos de sonde en los Grupos G y B fue llevados a cabo con la colaboración de Francisco López, Javier Peñate Alejo y Eduardo Rodrigo Juárez López. La operación 172 en el Grupo C se llevó a cabo con la colaboración de Esteban Mirón y Erick López. Las operaciones y los pozos de sondeo fueron registrados por el equipo topográfico PRACH (Arianna Campiani, Javier López, Atasta Flores), y anexados al mapa general. Los modelos de elevación fueron elaborados con la colaboración de Esteban Mirón y Gerardo Jiménez con la información y datos generados por el equipo de trabajo PIPSP-PRACH. La zona de estudio fue inicialmente localizada durante recorridos de superficie por el director del proyecto Rodrigo Liendo y Keiko Tereneshi. Cuando llegaron el equipo de topógrafos al grupo G y después a el B, estos confirmaron la existencia de posibles zonas de actividad.

Prospección de talleres líticos en Chinikihá: Grupo G.

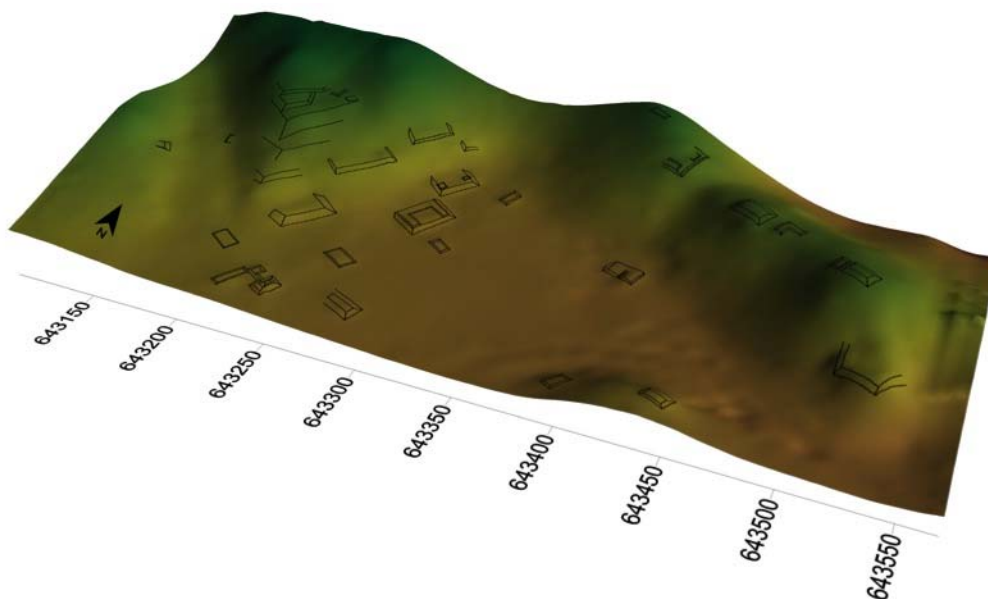


Fig. 8. 2 Mapa y modelo con elevación del Grupo G y zona de estudio.

El Grupo G se localiza al N del sitio, y se trata de un conjunto arquitectónico distribuidos en la parte superior de los cerros, su ladera, y la falda de estos (ver mapa 8.1). Por lo general las estructuras tienden a localizarse en zonas no inundables y más altas del terreno. También es importante notarse que este grupo arquitectónico se encuentra en el límite Norte del sitio, del lado Oeste de la salida o entrada natural a la parte central de sitio. La entrada natural, vistas en el mapa como los cerros de los Grupos G y H, debió de funcionar como el acceso en tiempos prehispánicos; no es por casualidad que la carretera cruce el sitio de tal forma. Los Grupos G y H conforman dos grupos arquitectónicos (que no necesariamente reflejan una división de ningún tipo, más que el de servir como punto de referencia) relacionados con el grupo arquitectónico más al Norte y limite del sitio. No es solo una barrera geomorfológica, si no una división física que se puede observar en el patrón y distribución del sitio (ver mapa 8.2).

Se comenzó con un recorrido de superficie del Grupo G, para observar que tipo de materiales podíamos identificar en superficie, su estado de conservación, y donde se encontraban localizados. En la actualidad el uso de suelo es ganadero, con pastos bajos, lo que ha sido un factor en el deterioro, remoción, y acarreo del material por medio de procesos erosivos naturales y culturales. El dueño actual de este grupo del sitio se llama Jesus Maria Guzmán y vive en Reforma.



Fig. 8. 3 Imágenes de la pendiente y terraza G22; vista desde el Sur.

El uso de suelo está directamente relacionado con procesos de deterioro de los materiales expuestos en superficie. El uso de suelo local presenta algunos factores de deterioro visibles en los materiales arqueológicos. El ganado se sube y pasa constantemente sobre la zona, su afectación no parece ser mayor. Sin embargo, debido a la pendiente y la falta de vegetación, el ganado es un factor activo en el movimiento y redistribución de materiales arqueológicos, por lo general desde las partes más elevadas a las partes más bajas. Además, hay una gran cantidad de material arqueológico en superficie, el paso cotidiano del ganado debe de ser un factor importante en la exposición en superficie de los restos arqueológicos.

Las estructuras en esta área parecen ser de uso habitacional y parecen localizarse en distintas partes del Grupo G. Además, existe una serie de terrazas distribuidas en la ladera del grupo; es posible que éstas sean zonas de producción (ver imágenes 8.3). La presente investigación se centró en las terrazas asociadas al manchón de material lítico más importante localizado en el sitio a la fecha. El material localizado en superficie fue cerámica muy fragmentada y erosionada, restos de producción lítica, restos de bloques de piedra careada, partes de estructuras en lugares más elevados, piedras de molienda, y núcleos desbastados. Los trabajos se concentraron en las partes externas de estructuras y se recolectó solo una pequeña muestra del material en superficie; pensando en la conservación del sitio, sus materiales y la cantidad de material arqueológico. Las terrazas son zonas donde se modificó el paisaje en una pendiente para hacer zonas planas, utilizando materiales locales para su construcción y que funcionan como áreas de actividad productiva. Cabe mencionar que la cantidad de desecho de talla de lítica en comparación de cerámica fue realmente marcado. Incluso hubieron ocasiones que no había cerámica, solo desecho de talla (ver imagen 8.4).



Fig. 8. 4 Imágenes de material localizado en superficie; fragmento de laja, micro y macro desecho de talla, fragmentos de metate o piedra de molienda.

El material en superficie se encontraba muy disperso, pero logramos identificar una zona que presentaba la concentración más abundante de material lítico expuesto. Se identificaron distintos fragmentos de cerámica, metates y manos de molienda (lo visto en superficie eran basaltos), mucho material de desecho de talla de rocas calizas

(sílex/pedernal). Casi todo el material en superficie mostraba distintas etapas productivas, como piedras careadas o trabajadas para construcción, preformas de hacha, cuchillos, manos o piedras de molienda de basaltos, metates, y fragmentos de navajillas prismáticas; lo que nos hace pensar en las distintas etapas de producción lítica. Otro aspecto importante fue la cantidad de desecho de talla, y la homogeneidad en cuanto al tipo de desecho localizado (ver imágenes 8.4).

Una vez recorrido el Grupo G y localizado las zonas de interés, o la zona con la mayor concentración de material lítico en superficie, se decidió por iniciar con una prospección y pozos de sondeo para ver qué tipos de materiales podíamos localizar en excavación, la estratigrafía y deposición del contexto arqueológico, así como la observación y delimitación de posibles zonas de producción. Se hicieron dos operaciones de sondeo y pruebas de pala para delimitar las mejores zonas de investigación en el futuro. Otro objetivo era observar si realmente se trata de zonas de producción lítica, y si era así, donde se localizaban. Esta es una primera aproximación para hacer un estudio sobre

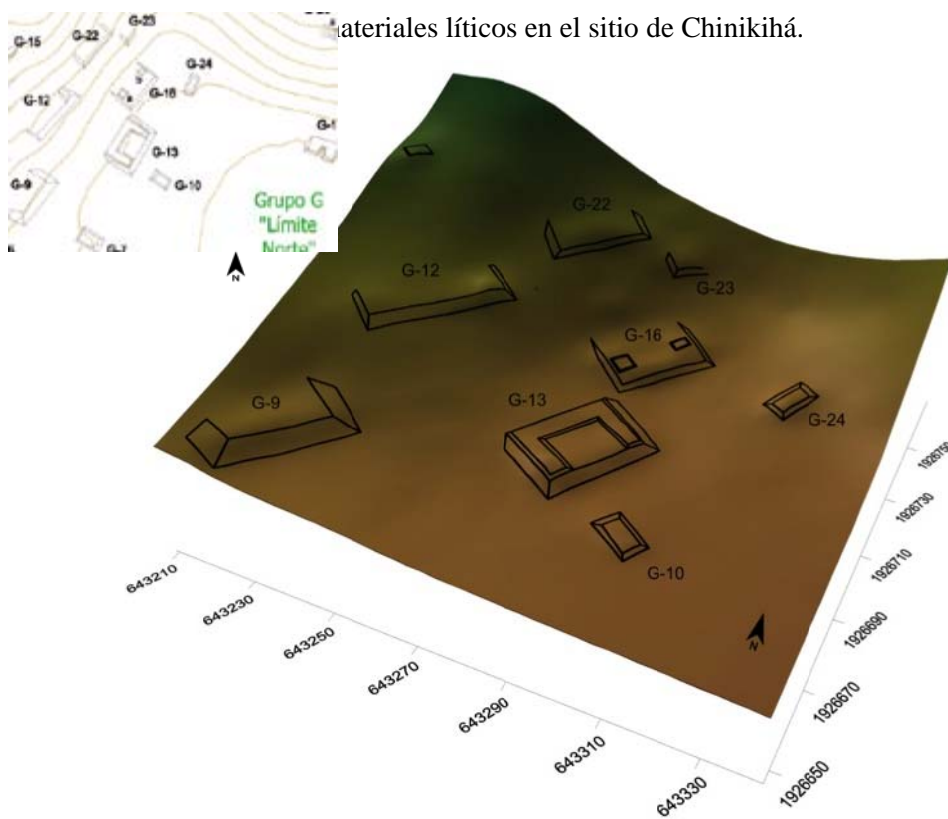


Fig. 8. 5 Mapa del Grupo G mostrando la zona donde se concentro el trabajo. Observar la inclinación en el terreno.

Operación 165.

Como se mencionó anteriormente, el Grupo G se encuentra en una zona con pendientes y laderas donde se modificó el paisaje por medio de terrazas en la ladera del cerro. Se optó por comenzar en la zona más elevada de la ladera, con la idea de poder delimitar posibles zonas de producción utilizando como indicador desecho lítico en superficie, además de tomar en cuenta la geomorfología y el procesos de erosión (pendiente y tipo de vegetación), uso de suelo (ganadero) y posible deposición en esta zona. Una vez localizadas las zonas de mayor potencial, se decidió por comenzar en la terraza G-22 con una operación de sondeo. Esto nos permito distinguir cambios de suelos, texturas, y rellenos en los pozos de prospección. En el presente informe se presenta las descripciones de capas naturales. La ladera

del cerro es bastante pronunciada, y como se verá a continuación pudimos percibir el sistema constructivo de las terrazas, procesos de derrumbe y deposición tanto de elementos arqueológicos como geológicos (ver mapa 8.5).

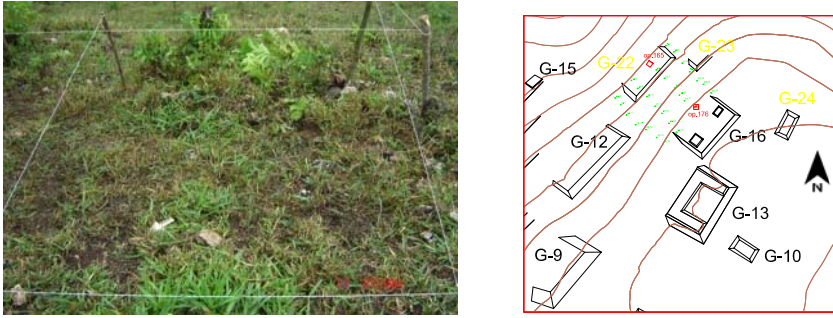


Fig. 8. 6 Imagen de la retícula de la Operación 165 y localización en el mapa de los trabajos en el Grupo G.

La operación se localizó en la parte posterior de la terraza, con la idea de poder recuperar la mayor cantidad de desecho, crear la menor afectación posible a la terraza y a su sistema constructivo, así como observar el aprovechamiento del paisaje. La operación se orientó a la terraza y no al Norte, debido a la orientación de esta y a la geomorfología y pendiente del terreno.

Se comenzaron los trabajos arqueológicos al delimitar la zona y limpiar la superficie de material orgánico, además se separó el material arqueológico. Debido al uso de suelo, la terraza y zonas aledañas se encontraban cubiertas por pastos cortos (del tipo denominado estrella), con muy pocos árboles en los alrededores (ceiba, eucaliptos, chapai, caobas (pequeñas), lima), la mayoría son arbustos, pastos y vegetación secundaria dispersas en el Grupo. Hacia el Norte y el Oeste del grupo, hay vegetación secundaria y acahual, lo que no permitió un recorrido de superficie exhaustivo, solo se trabajó la zona mapeada. La pendiente en la zona era muy pronunciada, lo que se observó durante la excavación de la terraza G-22.

Capa I.

Se trata de una capa no homogénea (irregular con grosor máximo de 25 cm), de color negra oscura (color Munsell 10YR-2/1 Black) con estructura limo arcillosa, con poco materia orgánica (la mayoría raíces de pastos, raíces de arbustos cercanos y de un árbol que se encontraba al NE; también distintos insectos, en su mayoría larvas). Este estrato tenía aspecto de ser capa de erosión; debido a la mezcla de material y que seguía la pendiente general del terreno. El estrato estaba compuesto por tierra y piedras no homogéneas (angulares/subangulares/redondas), de distintos tamaños y que no presentaban algún patrón específico. Además se ubicaron lenticulas delgadas de ceniza volcánica durante distintas partes de la capa y de la operación. Entre los materiales arqueológicos localizados en esta capa se encuentran fragmentos de cerámica, desecho de talla lítica (ver imagen 8.7) (preforma de punta, lascas de reducción, lascas de presión; micro y macro desecho: pedernal/sílex), bloques de caliza careados, un mosaico de pirita pulido y restos malacológicos (xutes).



Fig. 8. 7 Imagen del desecho de talla localizado en la Capa I.

En el extremo Sureste de la operación, se localizó una preforma de punta que se registró como Elemento 1 y se localizó justo antes del comienzo de la Capa II. Ésta es muy burda y parece parte de una pieza tallada por alguien que estaba practicando o aprendiendo el trabajo de tallado lítico (ver imagen 8.8).



Fig. 8. 8 Imagen del elemento 1.

Otra pieza recuperada fue un fragmento de espejo en lámina de pirita. Se localizó en esta capa (muy cercano a la superficie), probablemente a causa de acarreo. Esta capa parecía ser una capa de escurrimiento y deposición por procesos erosivos. El fragmento de espejo de pirita se localizó a unos 5 cm de la superficie del terreno y se registró como Elemento 3 (ver imagen 8.9).

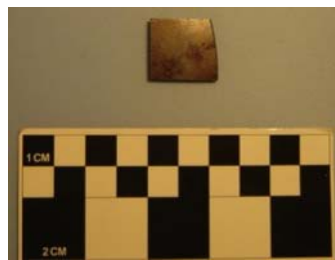


Fig. 8. 9 Imagen de la Capa I mostrando la zona donde se encontró el fragmento de espejo de pirita.

Capa II.

Capa de estructura limo arcillosa con muy poca arena, y de forma irregular. Había una gran cantidad de piedras de distintos tamaños y formas mezcladas con material lítico y cerámico. Esta capa parecía ser un relleno para aplanar un poco el terreno con un grosor máximo de 38 cm. Su estructura era bastante homogénea y consistía de piedras de distintos tamaños y formas (redondas/angulares), además de un par de lajas careadas. Muy parecido a la capa anterior, se localizó bastante material arqueológico mezclado en la capa: cerámica, lítica, restos malacológicos (xutes), pocos insectos y raíces de pastos, arbustos, y uno de los arboles cercanos. La mayoría del material localizado fue desecho de talla lítica (fragmentos de lajas, lascas de reducción, lascas de presión; desecho micro y macro (pedernal/sílex) además de un percutor; un fragmento de navajilla prismática de obsidiana). En el extremo Este se localizo un fragmento de una laja bien tallada, que fue parte del relleno utilizado para hacer una superficie horizontal en la ladera (ver figura 8.10).



Fig. 8. 10 Imagen del fragmento de piedra trabajado encontrado en la operación.



Fig. 8. 11 Imagen del percutor encontrado en esta Capa.

Capa III.

Capa limo-arcillosa, muy deleznable y de fácil extracción cuando seca. En húmedo tiene una plasticidad moderada. Se debe notar que su estructura era más fina que la capa anterior, y cuando húmedo era más plástica (plasticidad moderada). Su forma es irregular con grosor máximo de 28 cm. Es parecida a la capa II en que se trata de un relleno con piedras de distintos tamaños (angulares/subangulares) bastante abundantes, con material arqueológico mezclado en forma de relleno. Las piedras en este relleno eran de mayor tamaño que en la capa anterior, y el desecho lítico y cerámico comenzó a disminuir conforme se fue excavando más profundo. Las raíces fueron cada vez menos y de menor tamaño. El color de la capa fue un Color Munsell 10YR 5/4 yellowish Brown o Café amarilloso. En el Perfil NE, prácticamente en la esquina Norte había un hoyo de tuza que mezclo material de la Capa III y IV. En esta capa se registro cerámica, lítica (desecho de talla, núcleo de pedernal desbastado, micro y macro desecho de talla, piedras careadas, y fragmentos de lajas), y restos malacológicos (xutes) mezcladas en la capa; la cual era un relleno para aplanar la ladera.

Cabe mencionar que en esta capa se detectó y registró una punta de lanza o cuchillo bifacial de pedernal completa. En la porción Oeste de la operación se localizó esta punta, el material alrededor no presentó ninguna asociación en el depósito. Incluso estaba acostado horizontalmente. Se registró con el nombre de Elemento 2; mide 11.5 cm de largo, 3.55 cm ancho y 1.2 cm en sección (ver imagen 8.12).



Fig. 8. 12 Imagen del Elemento 2.

Capa IV

La capa más delgada y con la menor cantidad de material arqueológico. Un estrato bastante regular y recto, con un espesor promedio de 14 cm. Tenía una textura arcillo (mayor carga) limosa (menor carga) de estructura muy suave y de granos finos. En seco era muy suave y firme, y en húmedo tenía una plasticidad fuerte y consistencia aun más fuerte. Su color Munsell era 10YR-7/4 very pale Brown o Café muy pálido. Este estrato no tenía piedras grandes, solo hubieron unas pocas gravas, muy pocas (ver imagen 8.13). Se localizó muy poco material arqueológico, cerámica y desecho de talla de lítica (pedernal/sílex). Se tomaron muestras de tierra para flotación en cada una de las Capas en la parte media (al metro) del perfil Noroeste.

Muestra en Capa	Tomada a la profundidad (z) cm
I	44
II	60
III	98
IV	112



Fig. 8. 13 Imagen del perfil Noroeste (lado izquierdo) y la imagen de planta de la operación llegando a la roca madre (a la derecha).

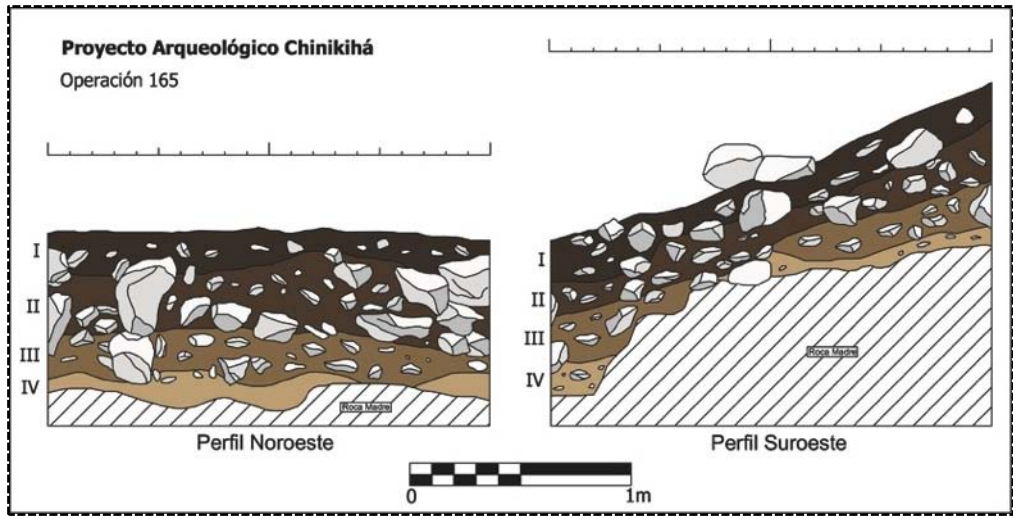


Fig. 8. 14 Dibujo de la Operación 165.



Fig. 8. 15 Imagen del perfil Noroeste y perfil Suroeste.

Operación 176.

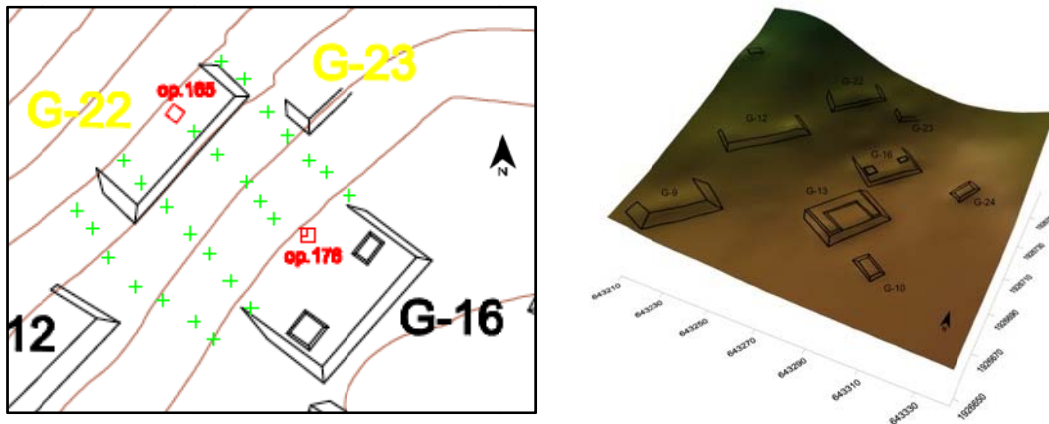


Fig. 8. 16 Mapa mostrando la ubicación de la Operación 176 y los trabajos llevados a cabo en el Grupo G.

Como se mencionó al principio de esta sección, la dispersión de desecho de talla cubría una extensión bastante amplia. Durante los trabajos de excavación, se caminó la zona constantemente para asegurarnos de poder delimitar, a menos de una forma preliminar, la zona del manchón o dispersión cerámica y las diferentes concentraciones. También, observando la topografía, se decidió poner la operación de manera que quedara perpendicular a la Operación 165. Además, existe una pequeña depresión o hundimiento en la pendiente, por lo que se pensó que podría ser un buen lugar para recuperar material de desecho de actividades humanas (al ser la parte trasera de la terraza G-16, donde se pudo depositar basura), además de recuperar material depositado por procesos erosivos. La operación 176 se ubicó en la parte posterior de G-16, orientada al Norte, con la idea de recuperar material arqueológico de la pendiente y terrazas, además de recuperar material de la terraza (ver imagen 8.17).



Fig. 8. 17 Imagen de la parte trasera de G-16 (izquierda) donde se ubico la operación y la fotografía tomada desde G-16 hacia G-22 (derecha).

Operación de prospección inicialmente de 2 X 2 m, pero debido a la cantidad de material recuperado, el tipo de prospección y el tiempo en campo, se decidió en reducir a una prospección de 1 X 1 m. Esto nos permitió por un lado el material procedente de la ladera, y por el otro, la parte trasera de la terraza G-16. Se identificaron dos capas naturales o momentos de deposición. El tamaño de la unidad terminó siendo un factor importante como un limitante en la comprensión de los procesos de deposición arqueológicos. No se llegó a roca madre y llegamos hasta donde el espacio lo permitió. Se localizaron dos Capas naturales o de deposición. En la primera capa sobresale mencionar la cantidad de

desecho de talla que se localizo, a comparación de otros materiales, sobre todo cerámica. La segunda Capa es parte de un relleno relacionado con la parte trasera y relleno de la terraza G-16.

Capa I.

Capa de textura arenosa-limosa ondulada e irregular de color 10YR 5/3 (color en seco) Brown o Café y 10YR 3/2 (color en mojado) Brown o Café. Una vez que se limpió la zona de las piedras, arbustos y pastos, se tenía una capa de tierra grisácea muy delgada, menor de 1 cm. La estructura del suelo era granular, con suelos con carga arenosa mayor a los limos. La capa tenía muchas raíces, la mayor parte se trabaja de raíces de pastos y arbustos. Esta zona tenía menos cantidad de insectos que la Operación anterior. En el perfil Norte se encontró un pozo de tuza.



Fig. 8. 18 Imagen de la ubicación de la Operación 176, la imagen del extremo superior derecho muestra las dimensiones originales; mientras la imagen en el extremo inferior muestra la reducción de las dimensiones de la operación.

Éste mezcló buena parte del lado del perfil Norte, y se metía en el perfil Este. En cuanto se inició la excavación comenzó a salir material lítico. En realidad había muy poca cerámica si se comparado con la cantidad de lítica. En cuanto a la lítica, se recuperaron restos de desecho de talla, micro y macro lascas de rocas calizas (sílex y pedernal) mezcladas con tierra y piedras que en su mayor parte eran de menor tamaño y gravas. Entre los materiales arqueológicos recuperados mencionamos fragmentos de cerámica, material lítico (fragmento de navajilla prismática – obsidiana; lascas de reducción de talla, de presión, fragmento de cuchillo/punta, y un fragmento de cuenta de pedernal/sílex) y restos malacológicos (Xutes).

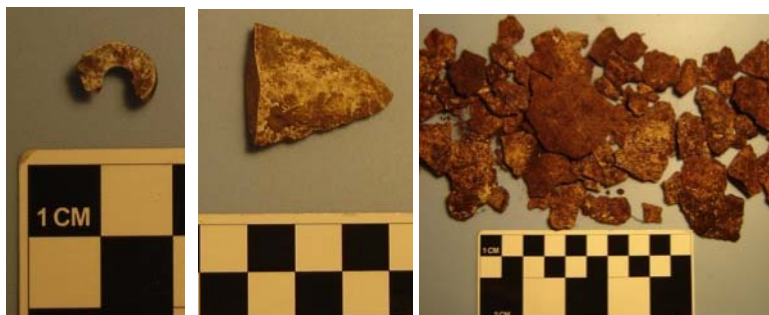


Fig. 8. 19 Imagen del desecho lítico recuperado en excavación de esta capa; de izquierda a derecha: fragmento de cuenta, fragmento de cuchillo/punta, desecho de talla.

El desecho de talla, al igual que en la operación anterior, arrojó distintos materiales que permiten observar el proceso de producción lítico. Se trata de un tiradero de una zona de producción especializada o se trata de algunas

generaciones participando en una tradición lítica en la zona de estudio. Es mucho el volumen y cantidad de desecho de talla recuperado en este grupo, incluso, la cantidad de desecho lítico recuperado, en proporción con la operación 165, fue mayor en ésta.



Fig. 8. 20 Imagen de la Capa I y el perfil Norte.

Capa II.

Esta Capa es parte de un relleno de la terraza G-16. Se trata de una capa de textura arcillo limosa, de forma irregular, y de un tamaño desconocido. Durante la presente prospección se excavó hasta 90 cm de profundidad. Se tomaron distintas muestras de color, textura, y materiales parte del relleno para asegurarnos de que se trataba de una sola capa.



Fig. 8. 21 Imagen de fragmentos de perforadores encontrados en esta capa.

Es un relleno compuesto de piedras de distintos tamaños, desde grandes hasta gravilla, la mayoría de forma angular y bastante frecuentes, mezclado con desecho arqueológico; restos malacológicos (xutes), mucho tepalcate cerámico y desecho de talla lítica (no había tanta diferencia entre la cantidad de fragmentos de cerámica y desecho lítico; la lítica seguía siendo el material arqueológico dominante). Entre los materiales recuperados cabe mencionar tepalcates de cerámica, piezas en distintas etapas de producción, preformas de hachas y una preforma de punta de lanza, fragmentos de punzones o perforadores, y un raspador (sílex/pedernal); fragmentos de navajilla prismática de obsidiana.

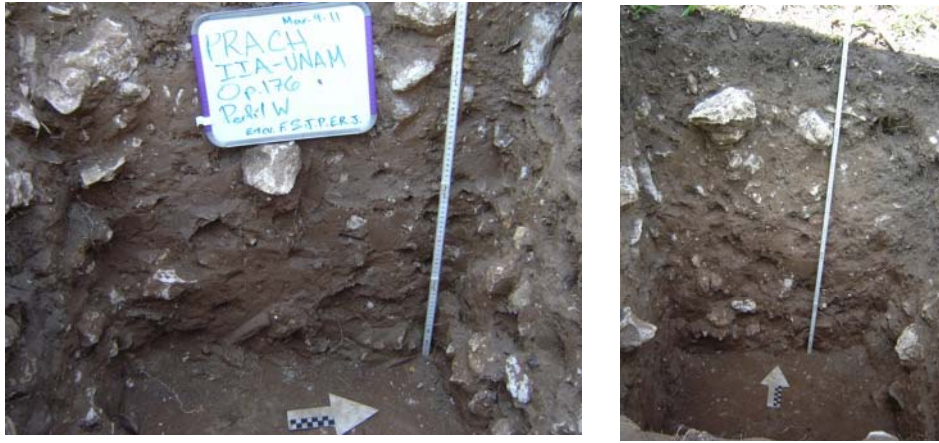


Fig. 8. 22 Imagen del Perfil Oeste (izquierda); imagen del perfil Norte (derecha).

El estrato en su parte superior, de contacto con la Capa I, presentaba la mayor cantidad de desecho de talla. Conforme se fue descendiendo, el material lítico disminuyó, y la capa se hizo más homogénea al conformar el relleno descrito anteriormente. Se debe mencionar que las capas en esta operación tenían más humedad que en la operación anterior.

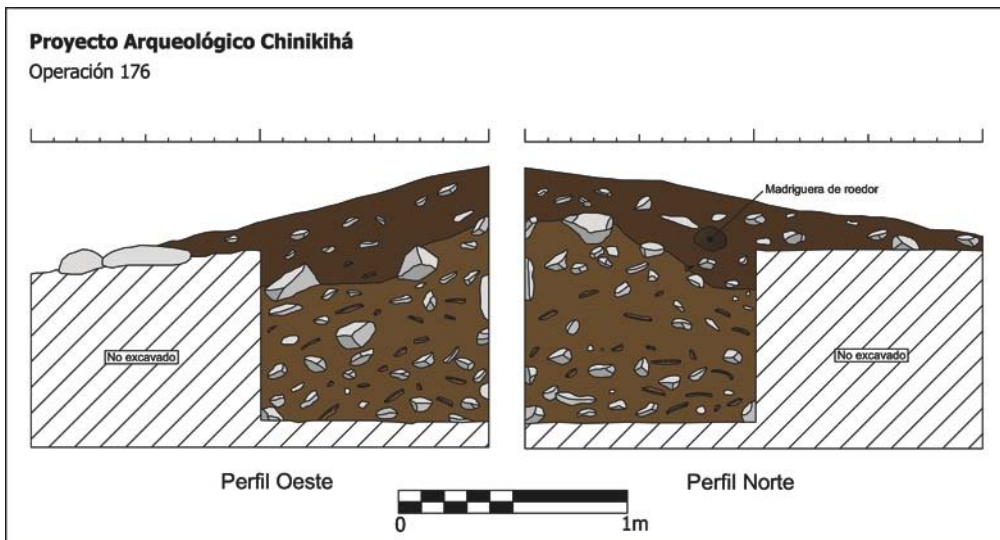


Fig. 8. 23 Dibujo de los perfiles Oeste y Norte de la operación 176.

En el cuadrante NW, se recuperó una preforma de pedernal/sílex. Ésta se localizó a 92 cm de profundidad y se registró como Elemento 4. Se trata de una preforma de punta (probablemente de lanza) de burda técnica. El material asociado a éste era parte del relleno de la capa II (ver imagen 8.24).



Fig. 8. 24 Imagen del Elemento 4, preforma de punta.

En el extremo NW de la operación se recuperó una preforma de sílex/pedernal en forma de hacha. La pieza está casi terminada, con la excepción que le dieron un golpe basal y se llevaron una buena parte; se localizó a una profundidad de 106 cm y de la misma forma que el elemento anterior, éste era parte del relleno de piedras, lítica, y cerámica. Se registró como Elemento 5 (ver imagen 8.25).



Fig. 8. 25 Imagen del Elemento 5, preforma de hacha.

En el extremo SW de la operación, prácticamente llegando a la esquina, se recuperó una herramienta en forma de raspador o raedera y se registró como Elemento 6. Ésta se encontró prácticamente parada verticalmente, formando parte del relleno. Se localizó a 149 cm de profundidad, y de la misma forma que los elementos anteriores, formaba parte del relleno de la terraza G-16.



Fig. 8. 26 Imagen del Elemento 6, herramienta en forma de raspador o raedera.

Se tomaron tres muestras de tierra para flotación, una muestra para la Capa I y debido al tamaño de la Capa II, se tomaron 2 muestras.

Muestra en Capa	Tomada a la profundidad (z) cm
I	73
II	108
II	153

Pruebas de Pala 01-26.

Como se mencionó en la introducción, uno de los objetivos era entender la disposición de los materiales arqueológicos y conocer las zonas con un mayor potencial para investigación a futuro. Se decidió concentrarse en la zona donde se encontró la mayor cantidad de material en superficie. Otro factor que se tomó en cuenta fue la pendiente del terreno, y las zonas donde parecía haber algún tipo de superficie. Cada Prueba de Pala se puso a una distancia de 10 m horizontalmente. En la inclinación vertical se siguió todas las zonas donde hubiera zonas transitables o algo planas y se trató de seguir líneas lo mas derecho posible. En algunos casos no se pudo excavar debido a que era pura piedra; como en el caso de la PP5 y PP9. Las pruebas de pala fueron hechas con una pala plana, de las utilizadas para hacer postes. Se hicieron pozos de 25 X 25 cm por 30 cm de profundidad; lo que era el tamaño de la pala y se orientaron al N.



Fig. 8. 27 Imagen de parte de la prospección con pruebas de pala (izquierda) y una de las pruebas de pala en el Grupo G (derecha).

Se hicieron un total de 26 Pruebas de Pala, las cuales se pueden observar en el mapa de distribución (Fig. 8.29). Estas pruebas de pala nos permitieron ver las concentraciones, disposición y dispersión del material. Se debe mencionar que los pesos de las operaciones 165 y 176 no se integraron, ya que no se tenía una pesa en campo para medir la carga que se recuperó de material. Una vez en el laboratorio, se pesó el desecho de talla para poder hacer estos mapas (ver Fig. 8.30). Las pruebas de pala nos permitieron observar que el material se encuentra localizado alrededor de las terrazas. Por ejemplo en la Prueba de Pala 3 no se recuperó nada de material lítico. Todas las pruebas de pala cercanas a G-12 dieron muy poco o ningún material lítico. Estos mapas nos han permitido observar de una forma grafica posibles zonas de estudio de actividad y los conjuntos habitacionales cercanos a estos. Por ejemplo en la esquina Este de G-13 había una gran cantidad de material lítico al lado de la estructura. Además de las terrazas mencionadas anteriormente, G-13 es otra zona con potencial para la investigación a futuro.

Las pruebas de pala permitieron la recuperación material lítico (desecho de talla de calizas: micro – macro desecho, una pieza o lasca trabajada – este parece ser una pieza de una persona aprendiendo-, y fragmentos de puntas de proyectil), restos malacológicos (ver imagen 8.28).

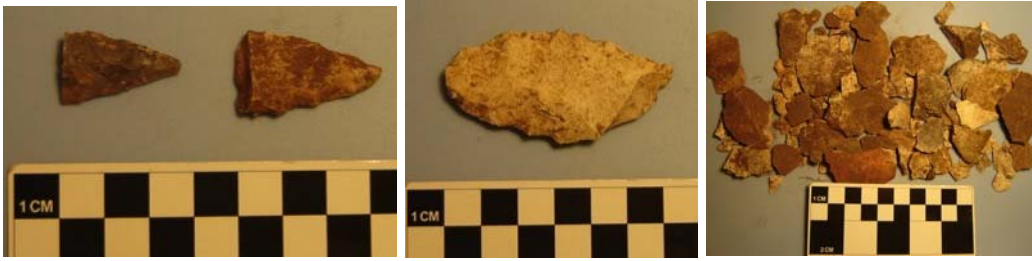


Fig. 8. 28 Imágenes de lítica recuperada durante las pruebas de pala en el Grupo G.

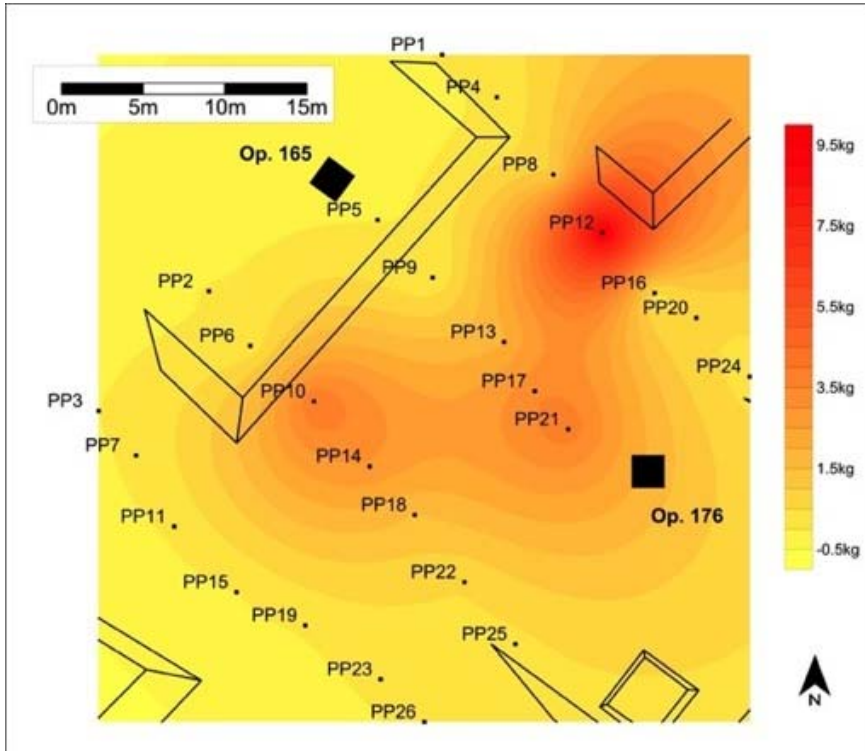


Fig. 8. 29 Mapa mostrando la ubicación de las Pruebas de Pala y el peso de desecho lítico obtenido en el Grupo G; ilustrar la dispersión y concentración del material lítico.

Prueba de Pala	Peso en Kg
PP1	0.049
PP2	0.035
PP3	0
PP4	0.108
PP5	0
PP6	0.114
PP7	0.122
PP8	1.112
PP9	0
PP10	4.033

PP11	0.102
PP12	9.779
PP13	1.95
PP14	2.942
PP15	0
PP16	0.356
PP17	3.424
PP18	1.48
PP19	0.072
PP20	0.63
PP21	3.831
PP22	0.576
PP23	0.11
PP24	0.284
PP25	0.368
PP26	0.118

Fig. 8. 30 Pesos en Kg del desecho de talla recuperado en las Pruebas de Pala en el Grupo G.

Prospección en el Grupo B

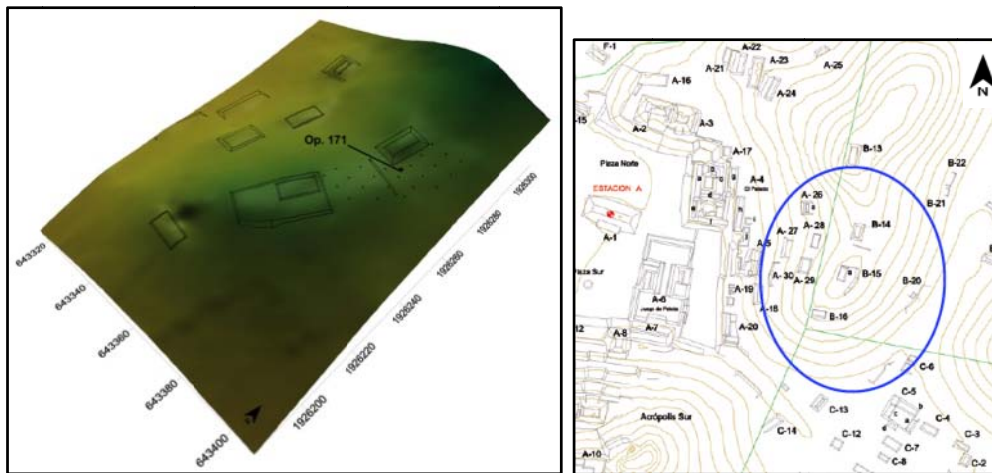


Fig. 8.31 Mapa de elevación de parte donde se llevaron a cabo la operación y las pruebas de pala (izquierda) y mapa mostrando la zona de investigación en el Grupo B (derecha).

Otra zona dentro del sitio arqueológico donde se localizó con anterioridad material arqueológico de desecho de talla en superficie fue el Grupo B. La zona de estudio se localiza en una loma y la parte más alta de uno de los cerros o elevaciones en los alrededores. Vale la pena notar su relación con el Grupo A, parte del conjunto central de Chinikihá. El Grupo B no solo presenta otro tipo de geomorfología, disposición y vegetación, si no también representa un área de actividad de producción lítica que pudo estar relacionado con el conjunto palaciego del sitio (ver mapa Fig. 8.31).



Fig. 8.32 Imágenes del Grupo B; (izquierda) imagen tomada desde B-15 hacia el Norte, (derecha) imagen tomada desde B-14 hacia el Sur.

La parte donde se estuvo trabajando está dentro de un rancho de uso ganadero, sin embargo, todos los cerros se han mantenido con su vegetación y el ganado no sube. Esto ha permitido que la selva esté creciendo y la carga biótica aumentando (ver Fig. 8.32). Se comenzó por hacer un recorrido de superficie, para poder delimitar inicialmente donde se encontraba el material arqueológico. El sitio de Chinikihá presenta un aprovechamiento de la topografía y geomorfología de la región; los pobladores se asentaron en los cerros y construyeron sus casas con el material disponible, el sitio en si es una cantera. Esto es, lo arquitectura del sitio está construido con los materiales locales, los más cercanos y disponibles. A forma de ejemplo, la Fig. 8.33 muestra material de superficie y una cantera localizados en el Grupo B.



Fig. 8. 33 Imágenes del Grupo B; (izquierda) imagen de parte de la ladera y (derecha) imagen de una de las plataformas con su cantera en la parte inferior.

El grupo se encontraba algo enmontado, por lo que se tuvo que hacer una limpieza de la zona. Además, había una capa bastante gruesa de material orgánico en descomposición (compuesto por hojas y ramas de árboles y arbustos). Este fue un factor importante en la identificación de material arqueológico en superficie. Debido a esto, se decidió por comenzar por hacer unas pruebas de pala para ver la disposición y dispersión del material en la zona. La mayoría del material se localizó entre las plataformas B-14 y B-15 (ver mapa en Fig. 8.34).

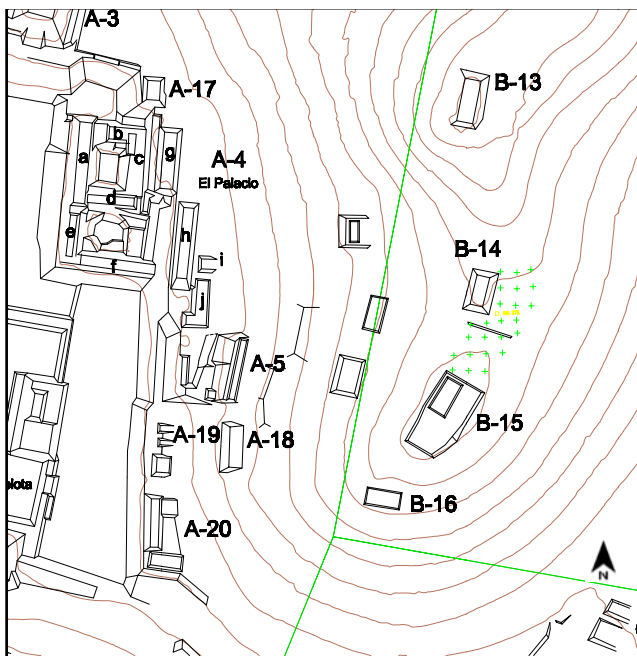


Fig. 8. 34 Mapa del Grupo B mostrando las pruebas de pala y la operación 171.

Pruebas de Pala 30-53.

Una vez delimitada la zona con la mayor cantidad de material registrado en superficie, se delimitó la zona y se comenzaron las Pruebas de Pala. Como se mencionó anteriormente, entre las estructuras B-14 y B-15 se localizó la mayor cantidad de material arqueológico; en específico se quería conocer si existían concentraciones de desecho de talla.



Fig. 8. 35 Imagen del material recuperado de PP 39 y la imagen de una de las pruebas de pala en el Grupo B.

Al igual que en el Grupo G, las pruebas de pala fueron hechas con una pala plana, de las utilizadas para hacer postes; se hicieron pozos de 25 X 25 cm por 30 cm de profundidad y se orientaron al N. Se asignaron los números de prueba de pala 30 a 60 para este grupo; se hicieron 23 pruebas de pala (ver Fig. 8.36). La concentración de restos de desecho de talla es menor que la del Grupo G, sin embargo, presenta la mismas características en cuanto el tipo de desecho de talla y la disposición arquitectónica o de asentamiento. La estructura B-15 y la terraza sobre la que se encuentra, presenta características parecidas a las observadas en el Grupo G y con posibilidad de estudiar una zona con otro nivel de producción. Por medio de esta información se elaboraron mapas de concentración y dispersión que permitieron la comprensión del grupo arquitectónico y su potencial para el estudio a futuro (ver Fig. 8.37). Cabe mencionar que PP39 parece ser un depósito de desecho de talla debido a la cantidad de desecho recuperado aquí. Como se puede observar en el mapa, parece que fuera la única concentración. Debido a la gran cantidad de material (comparado con las otras pruebas de pala) recuperado de esta prueba, el mapa parece estar dominado por este. Ver pesos en tabla para ver distintas cantidades de desecho lítico recuperado.

Prueba de Pala	Peso en Kg
PP30	0.033
PP31	0.030
PP32	0.031
PP33	0.032
PP34	0.043
PP35	0.095
PP36	0.626
PP37	0.217
PP38	1.294
PP39	6.102
PP40	0.710
PP41	0.400
PP42	0.525
PP43	0.981
PP44	0.280

PP45	0.082
PP46	0.068
PP47	0.000
PP48	0.029
PP49	0.016
PP50	0.028
PP51	0.030
PP52	0.000
PP53	0.000

Fig. 8. 36 Pesos en Kg del desecho de talla recuperado en las Pruebas de Pala en el Grupo G.

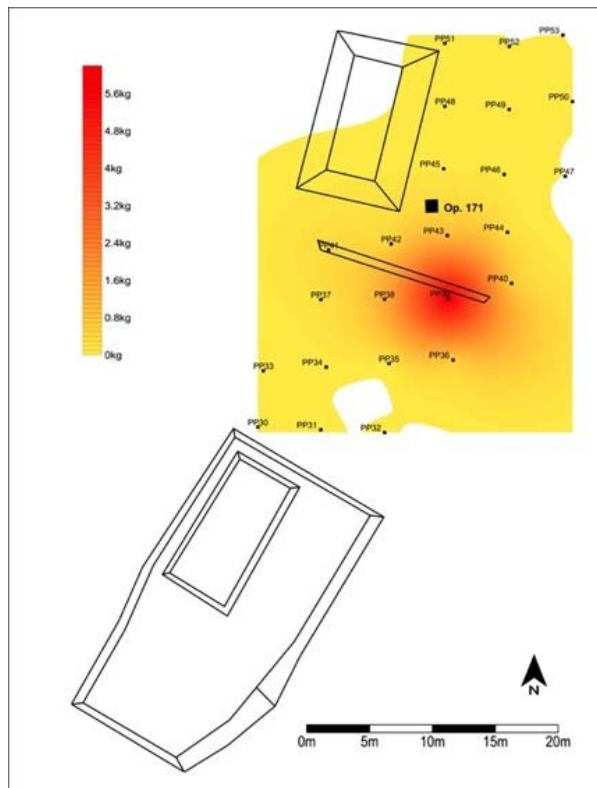


Fig. 8. 37 Mapa mostrando la ubicación de las Pruebas de Pala y el peso de desecho lítico obtenido en el Grupo B; ilustra la dispersión y concentración del material lítico

Op. 171

Una vez hechas las pruebas de pala, se decidió hacer una operación de prospección de 1 X 1 m entre las estructuras B-14 y B15 (ver Fig. 8.34). Como se puede ver en el mapa de distribución de material de las pruebas de pala se podrá observar que las pruebas de pala con la mayor concentración de desecho de talla fueron en la pendiente de lo que debió ser la parte posterior y la ladera del cerro.



Fig. 8. 38 Imágenes del Grupo B: (izquierda) foto de la estructura B-14; imagen de la estructura B-15 (derecha).

Esto nos llama la atención, y se piensa que B-14 es una estructura de uso habitacional, mientras que B-15 parece tener un uso como área de producción. En la porción Norte de B-15 hay una zona plana, en forma de terraza, que podría ser un aplanado y una zona de trabajo. Bajo esta lógica se decidió conocer la zona donde se encontró la mayor cantidad de material entre estas dos estructuras. Si se observa en el mapa (Fig. 8.39) la disposición de las estructuras, se puede ver que el acceso a la zona debió de ser W, y el manchón de material mayor se localizó en lo que sería la parte trasera.

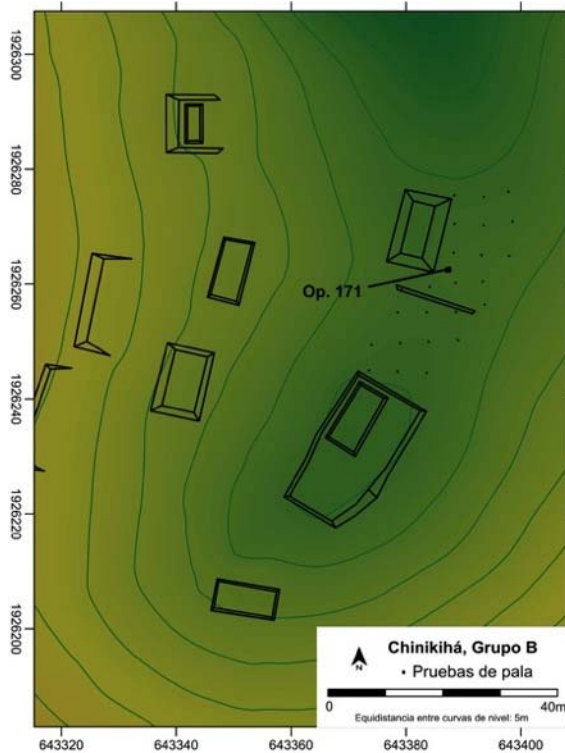


Fig. 8. 39 Mapa mostrando las pruebas de pala, la operación 171 y la topografía del terreno.

Se comenzó la operación 171 ubicándose al E de la estructura B-14 (ver Fig. 8.35). La idea era obtener la mayor cantidad de material arqueológico y ver la deposición y estratigrafía en la zona. Una de las razones por la que se ubicó ahí fue porque se localizaron manchones de desecho de talla en superficie.



Fig. 8. 40 Imágenes de la operación 171.

Capa I.

Capa de humus o materia orgánica en descomposición, de color muy oscura; color Munsell 5YR 2.5/1 Black o Negro (en seco) 7.5 YR 2/0 Black o Negro (en húmedo). Los primeros dos a tres cm estaban compuestos por hojarasca mezclada con tierra de la misma capa, ramas, y toda clase de materia orgánica de los alrededores en descomposición. La capa en si tenía abundantes raíces e insectos. La textura de la capa era limosa, de forma recta. La estructura del suelo era granular y de tamaño de estructura medio. Su extracción durante la excavación fue muy fácil; incluso parecía estar suelta. La capa tenía un tamaño promedio de 22 cm de ancho, con un relleno de piedras pequeñas y gravas angulares y frecuentes. En esta capa se localizaron y recuperaron restos malacológicos (xutes), cerámica, y lítica (desecho de talla, micro y macro lascas de calizas – pedernal/sílex; fragmento de navajilla prismática de obsidiana). La mayoría del material recuperado fue lítica, y el material arqueológico se encontraba mezclado en la capa. Se observó el mismo tipo de predominio de desecho de lítica sobre la cerámica.

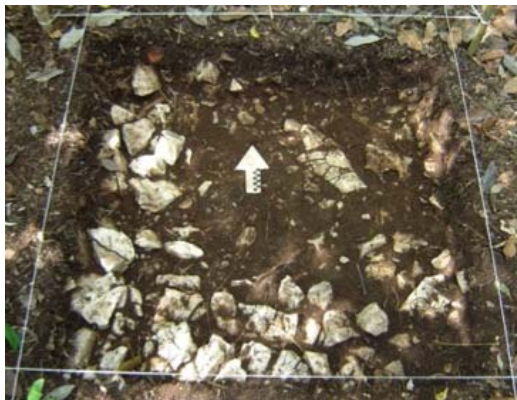


Fig. 8. 41 Imagen de planta de la Capa I.

Capa II.

Capa irregular de textura limo-arcilloso, con estructura granular y de tamaño medio. Tenía una consistencia más firme que la capa anterior con una plasticidad moderada; las cantidades de limo y arcilla eran similares. El color Munsell de la capa era 7.5 YR 3/2 dark Brown o Café oscuro (en seco) y 10YR 2/2 very dark Brown o Café muy oscuro (en húmedo). Esta es una capa de relleno. Se tiene la roca madre que sobresale de la superficie, esta segunda capa es un relleno de piedras y gravas (abundantes) mezcladas con material arqueológico y tierra. En esta capa las cantidades de material arqueológico eran bastante homogéneas; entre la cerámica y lítica. También se recuperaron

restos malacológicos (xutes). Entre la lítica recuperada había desechos de talla y de presión (mico y macro lascas) de rocas calizas pedernal/sílex. El relleno llegaba prácticamente hasta el nivel en donde terminaba (o comenzaba) la roca madre, formando un tipo de firme o superficie plana.



Fig. 8. 42 Imagen del comienzo de la excavación de la Capa II; (izquierda) imagen del perfil, (derecha) imagen de planta donde se puede observar la gravilla utilizada para aplanar la superficie.

Como se puede observar en la imagen, la roca madre sobre sale de la superficie y utilizaron este relleno para aplanar y hacer un firme. Los antiguos habitantes rellenaron estos huecos o espacios vacíos, con un relleno de piedras, gravas, tierra y material arqueológico. Se puso el relleno y se terminó a forma de un firme de gravilla con tierra y poco material arqueológico. Sobre este firme comienza la Capa I. Cabe mencionar que el color y textura de la tierra fue la misma en el firme y en toda la Capa II.

Se tomaron dos muestras de tierra para flotación, una muestra para la Capa I y una muestra para la Capa II.

Muestra en Capa	Tomada a la profundidad (z) cm
I	73
II	108

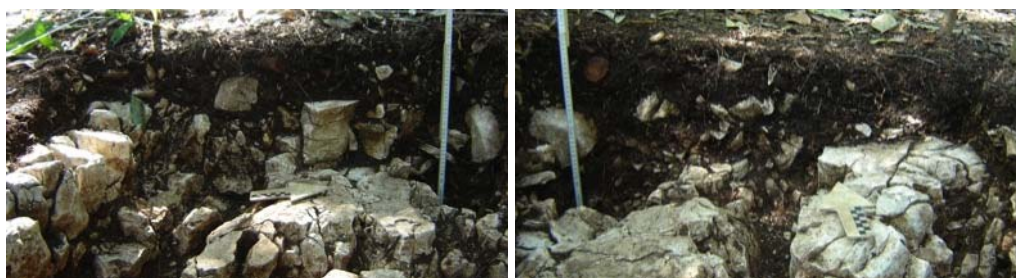


Fig. 8. 43 Imágenes de los Perfiles Oeste (izquierda) y Norte (derecha) de la operación 171.

Proyecto Arqueológico Chinikihá

Operación 171

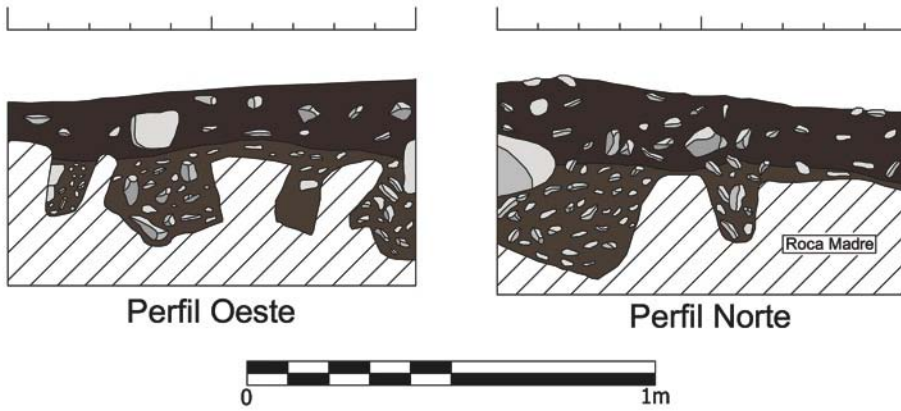


Fig. 8. 44 Dibujo de los perfiles Oeste y Norte de la operación 171.

Grupo C

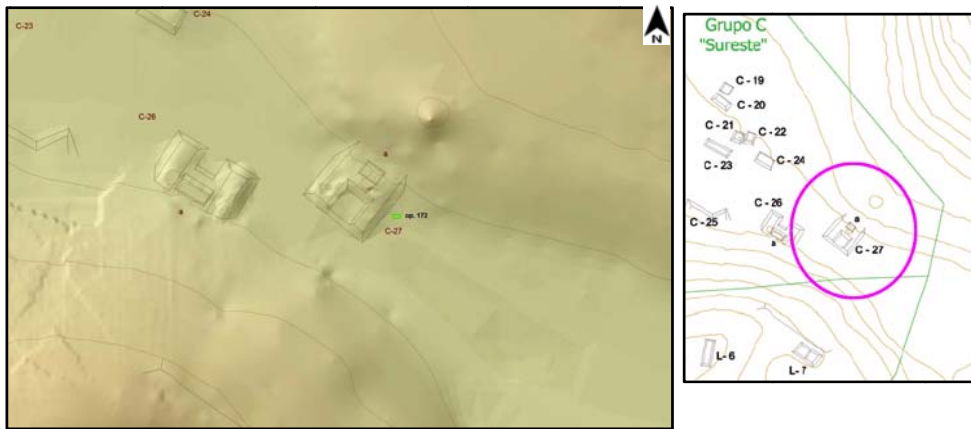


Fig. 8. 45 Mapa con la estructura C-27 y la Operación 172 en el Grupo C.

Como parte de los sondeos llevados a cabo por el PRACH, la Operación 172 se excavó en el Grupo C en el Sureste del sitio. Este grupo es una de las entradas al sitio. Tanto la topografía en la zona como el patrón de asentamiento indican un cierto control, en cuanto al flujo o paso por la zona (ver mapa 8.45). Incluso hoy en día, este mismo paso natural es utilizado como una brecha en la cual además de ganado, llegan a entrar camionetas. Este es una de las fronteras hasta ahora localizadas del sitio, incluso hasta aquí fue mapeado. Por un lado tienes dos cerros, uno al Norte y el otro al Sur, controlados por dos estructuras C-27 y C-26. En el caso de C-27, que fue donde estuvimos trabajando, es una estructura grande, con un patio interno y edificios abovedados.



Fig. 8. 46 Imagen de la terracería entre C-27 y C-26; acercamiento de la estela/lintel liso localizado en la parte frontal de C-27 junto a la terracería.

Desafortunadamente, precisamente por sus dimensiones arquitectónicas, tenía cuatro pozos de saqueo distribuidos en distintos lugares. Prácticamente el lado W de la estructura se lo llevaron con un trascabo, el pozo de saqueo dejó el esqueleto de la estructura visible, comprobando la existencia de cuartos internos y que el edificio fue abovedado. La estructura está orientada a un patio y al paso natural, en medio de ese patio hay una gran ceiba que parece dio cierta estabilidad a la estructura.



Fig. 8. 47 Imagen de la parte del parte interno de C-27 (izquierda) y uno de los pozos de saqueo donde se observa la parte interna de un edificio abovedado.

Otro aspecto interesante fue la localización en superficie de una pieza que parece una estela pequeña o un lintel liso. Éste se encuentra en la superficie junto a la terracería y todo parece indicar que fue movido (ver imagen 8.47).

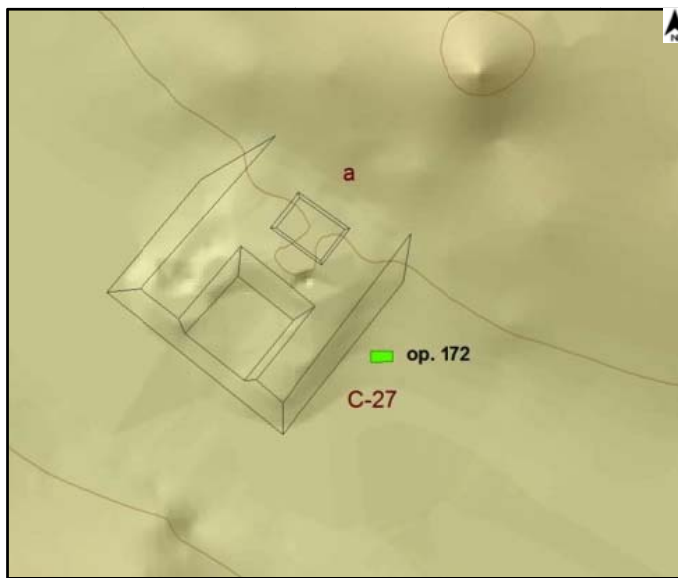


Fig. 8. 48 Mapa de la estructura C-27 con la operación 172.

Op. 172

Se llevó a cabo una operación de prospección al Sureste de la estructura C-27. Se limpió la zona de la vegetación secundaria y se comenzó la operación de sondeo de 2 X 1 m, orientada al Norte. El uso de suelo es de ganadería, pero debido a la topografía y las estructuras, esta zona estaba enmontada con vegetación secundaria. La operación mostró los restos de un basurero y una variedad de materiales; cerámica, lítica (tallada y pulida), hueso, xutes, y un fragmento de meteorito.



Fig. 8. 49 Imagen del terreno donde se ubico la operación 172 (izquierda) con la vegetación secundaria y la imagen de la operación una vez que se limpio la zona.

Capa I.

Capa de textura limo arcillosa, irregular y de un ancho promedio de 14 cm, de color Munsell 10YR 2/2 very dark Brown o Café muy oscuro con plasticidad ligera y consistencia en húmedo firme. La capa tenía bastante materia orgánica en descomposición: ramas y hojas. El estrato, a pesar de la gran cantidad y tamaño de raíces, fue de fácil extracción. El estrato está conformado por tierra con piedras y gravas angulares frecuentes mezclada con material arqueológico. En algunos lugares de la operación se observaron pequeños manchones o lentículas de ceniza volcánica. Se recuperó mucha cerámica en esta capa, además de lítica (fragmento de navajilla prismática de obsidiana; desecho de talla de piedras calizas, piedra careada – pedernal/sílex; restos malacológicos-xutes).



Fig. 8. 50 Imagen de la planta y el perfil S de la operación 171.

Capa II.

Capa de textura arcillosa con estructura granular. Es un estrato irregular con un ancho promedio de 17 cm. Su color Munsel es 2.5YR 2.5/4 dark reddish Brown o Café rojizo oscuro (en seco) y 5YR 3/3 (en húmedo) dark reddish Brown o Café rojizo oscuro. Esta fue la capa en la que se recuperó la mayor cantidad de material arqueológico; cerámica siendo el material dominante. El depósito resultó ser un basurero, con distintos materiales mezclados. La consistencia del estrato era firme con plasticidad ligera y porosidad mediana. El estrato estaba conformado por tierra mezclada con gravas y piedras angulares, además de material arqueológico y raíces. En ciertos lugares aparecieron tobas y manchones de ceniza volcánica. El material lítico recuperado fueron distintas lascas de desecho de talla, usualmente de piedras calizas como sílex o pedernal. También se recuperaron fragmentos de núcleos desbastados de calizas.



Fig. 8. 51 Imagen de la planta y el perfil Norte de la operación 172.

Capa III.

Estrato de textura arcillosa con una estructura granular y de forma irregular. Ultimo estrato antes de llegar a la roca madre, con consistencia firme y plasticidad moderada. El estrato estaba conformado con mucha arcilla, piedras angulares y subangulares y disminuyo el material arqueológico conforme se bajo. De todas las capas, ésta fue en la que menos material arqueológico se recuperó. El estrato tenía un color Munsell 2.5YR 4/4 reddish Brown o Café rojizo (en seco) y 5YR 3/2 dark reddish Brown o Café rojizo oscuro (en húmedo). En distintas partes de la capa salieron concreciones y pequeñas tobas de ceniza volcánica. Se recupero poca cerámica y poco desecho de talla de piedras calizas – sílex/pedernal. En la porción Oeste de la operación, se recuperaron dos fragmentos de hueso, uno a los 95 cm y otro a los 103 cm de profundidad. También se recuperó un pequeño fragmento de una roca metálica que parece ser un meteorito. Se llegó hasta este punto ya que la temporada de campo terminó, sin embargo se llegó a la roca madre en casi toda la unidad. El material arqueológico era prácticamente nulo. Se tomaron tres muestras de tierra para flotación, una muestra para cada capa.

Muestra de Capa	Tomada a la profundidad (z) cm
I	59
II	86
III	95

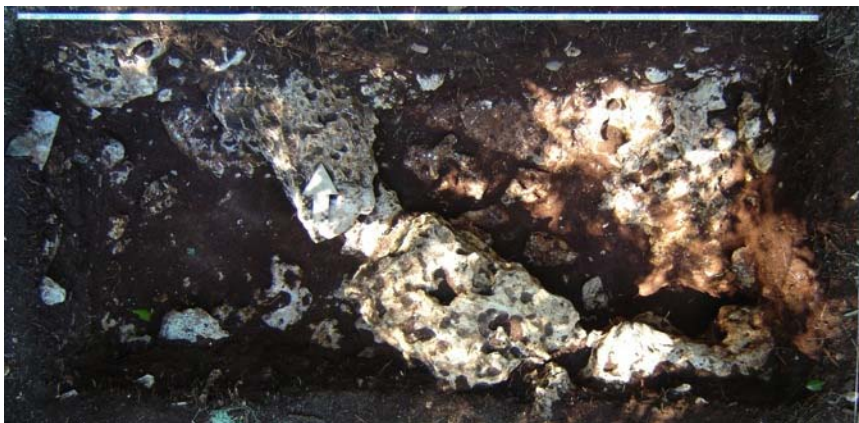


Fig. 8. 52 Imagen de la planta de la operación 172.

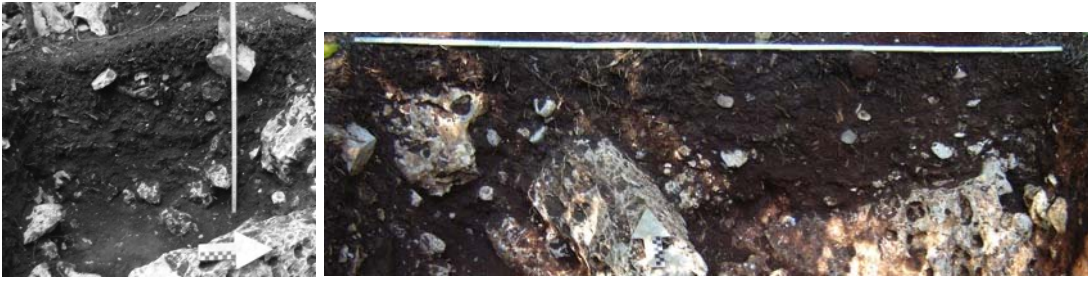


Fig. 8. 53 Imagen del perfil Oeste (izquierda) y el perfil Norte de la Operación 172.

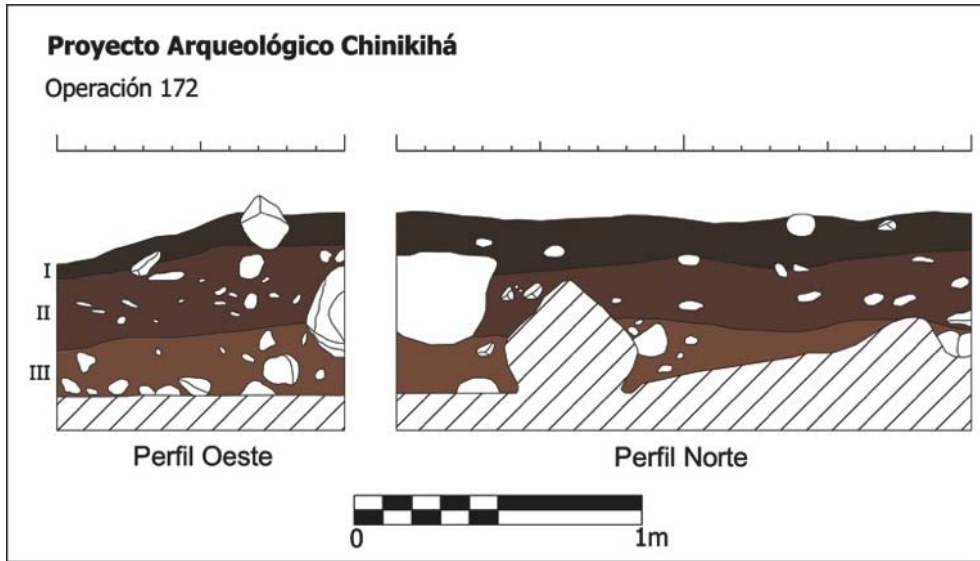


Fig. 8. 54 Dibujo del perfil Oeste y el perfil Norte.

Anexos

Control de bolsas de material arqueológico.

Numero Bolsa	Sitio	Operación	Elemento	Tipo de Material
3101	G22 Grupo G	165		Nivel Sup A Lítica
3102	G22 Grupo G	165		Nivel Sup A Xutes
3103	G22 Grupo G	165		Nivel Sup A Cerámica
3104	Grupo G Superficie	165		Mano Lítica
3105	Grupo G Superficie	165		Hacha Lítica
3106	G22 Grupo G	165		Muestra de Tierra Nivel Sup A Capa Orgánica
3107	G22 Grupo G	165		Nivel Sup B Cerámica
3108	G22 Grupo G	165		Nivel Sup B Lítica
3109	G22 Grupo G	165		Nivel Sup C Lítica
3110	G22 Grupo G	165		Nivel Sup C Cerámica
3111	G22 Grupo G	165		Nivel Sup D Lítica
3112	G22 Grupo G	165		Nivel Sup D Cerámica
3113	G22 Grupo G	165		Nivel Sup C Percutor
3114	G22 Grupo G	165		Nivel Sup E Lítica
3115	G22 Grupo G	165		Nivel Sup E Cerámica
3116	G22 Grupo G	165		Nivel Sup E Xutes
3117	G22 Grupo G	165	3	Nivel Sup E fragmento de espejo de pirita
3118	G22 Grupo G	165	2	Nivel Sup E punta de lanza pedernal
3119	G22 Grupo G	165		Nivel Sup F Lítica
3120	G22 Grupo G	165		Nive Sup F Cerámica
3121	G22 Grupo G	165		Nivel I Lítica
3122	G22 Grupo G	165		Nivel I Cerámica
3123	G22 Grupo G	165	1	Nivel I Lítica preforma
3124	G22 Grupo G	165		Nivel II Cerámica
3125	G22 Grupo G	165		NivelII Lítica (Obsidiana)
3126	G22 Grupo G	165		Nivel III Cerámica
3127	G22 Grupo G	165		Nivel III Lítica
3128	G22 Grupo G	165		Nivel IV Cerámica
3129	G22 Grupo G	165		Nivel IV Lítica
3130	G22 Grupo G	165		Nivel V Cerámica
3131	G22 Grupo G	165		Nivel V Lítica
3132	G22 Grupo G	165		Muestra de Tierra Capa I
3133	G22 Grupo G	165		Muestra de Tierra Capa II
3134	G22 Grupo G	165		Muestra de Tierra Capa III
3135	G22 Grupo G	165		Muestra de Tierra Capa IV
3136	G22 Grupo G	165		Carbón Nivel IV (z= 165 cm)
3137	G16 Grupo G	176		Material de Superficie Cerámica
3138	G16 Grupo G	176		Material de Superficie Lítica
3139	G16 Grupo G	176		Nivel Superficie I Cerámica
3140	G16 Grupo G	176		Nivel Superficie I Lítica

3141	G16 Grupo G	176	Nivel Superficie I Lítica
3142	G16 Grupo G	176	Nivel Superficie I Lítica
3143	G16 Grupo G	176	Nivel Superficie II Cerámica
3144	G16 Grupo G	176	Nivel Superficie II Lítica
3145	G16 Grupo G	176	Nivel Superficie II Lítica
3146	G16 Grupo G	176	Nivel Superficie II Lítica
3147	G16 Grupo G	176	Nivel Superficie II Cerámica
3148	G16 Grupo G	176	4 Nivel Superficie II Lítica (Preforma de pedernal)
3149	G16 Grupo G	176	Nivel Superficie II Lítica (fragmento de cuenta)
3150	G16 Grupo G	176	Nivel Superficie II Lítica
3151	G16 Grupo G	176	Nivel Superficie III Cerámica
3152	G16 Grupo G	176	Nivel Superficie III Lítica
3153	G16 Grupo G	176	Nivel Superficie III Lítica
3154	G16 Grupo G	176	Nivel I Cerámica
3155	G16 Grupo G	176	5 Nivel I Lítica
3156	G16 Grupo G	176	Nivel I Lítica (Obsidiana)
3157	G16 Grupo G	176	Nivel I Lítica Hacha
3158	G16 Grupo G	176	Nivel II Lítica
3159	G16 Grupo G	176	Nivel II Lítica
3160	G16 Grupo G	176	Nivel II Lítica
3161	G16 Grupo G	176	Nivel II Lítica
3162	G16 Grupo G	176	Nivel II Lítica punzones de pedernal
3163	G16 Grupo G	176	Nivel III Cerámica
3164	G16 Grupo G	176	Nivel III Lítica
3165	G16 Grupo G	176	Nivel III Cerámica
3166	G16 Grupo G	176	Nivel III Lítica (Obsidiana)
3167	G16 Grupo G	176	Nivel IV Cerámica
3168	G16 Grupo G	176	Nivel IV Lítica
3169	G16 Grupo G	176	Nivel V Lítica
3170	G16 Grupo G	176	Nivel V Cerámica
3171	G16 Grupo G	176	Nivel V Cerámica
3172	G16 Grupo G	176	Nivel VI Lítica
3173	G16 Grupo G	176	Nivel VI Cerámica
3174	G16 Grupo G	176	Nivel VI Cerámica
3175	G16 Grupo G	176	Nivel VII Cerámica
3176	G16 Grupo G	176	Nivel VII Cerámica
3177	G16 Grupo G	176	Nivel VII Lítica (Obsidiana)
3178	G16 Grupo G	176	Muestra de Tierra Perfil N Capa I
3179	G16 Grupo G	176	Muestra de Tierra Perfil N Capa II
3180	Grupo G	PP12	Lítica
3181	Grupo G	PP12	Lítica
3182	Grupo G	PP12	Lítica
3183	Grupo G	PP10	Lítica
3184	Grupo G	PP13	Lítica
3185	Grupo G	PP14	Lítica
3186	Grupo G	PP14	Lítica
3187	Grupo G	PP18	Lítica (obsidiana)

3188	Grupo G	PP14	Lítica
3189	Grupo G	PP10	Cerámica
3190	Grupo G	PP11	Cerámica
3191	Grupo G	PP18	Cerámica
3192	Grupo G	PP19	Lítica
3193	Grupo G	PP17	Cerámica
3194	Grupo G	PP13	Cerámica
3195	Grupo G	PP14	Cerámica
3196	Grupo G	PP11	Lítica
3197	Grupo G	PP21	Lítica
3198	Grupo G	PP21	Lítica
3199	Grupo G	PP20	Lítica
3200	Grupo G	PP17	Lítica (obsidiana)
3201	Grupo G	PP21	Lítica (obsidiana)
3202	Grupo G	PP16	Lítica
3203	Grupo G	PP25	Lítica
3204	Grupo G	PP17	Lítica
3205	Grupo G	PP24	Lítica
3206	Grupo G	PP22	Cerámica
3207	Grupo G	PP24	Cerámica
3208	Grupo G	PP26	Lítica
3209	Grupo G	PP23	Lítica
3210	Grupo G	PP21	Cerámica
3211	Grupo G	PP22	Lítica
3212	Grupo G	PP20	Cerámica
3213	Grupo G	PP26	Cerámica y Lítica
3214	Grupo G	PP25	Cerámica
3215	Grupo G	PP23	Cerámica
3216	Grupo C	172	Cerámica Nivel IV
3217	Grupo C	172	Lítica (obsidiana) Nivel IV
3218	Grupo C	172	Hueso Nivel IV
3219	Grupo C	172	Meteorito Nivel IV
3220	Grupo C	172	Hueso Nivel IV
3221	Grupo C	172	Cerámica Nivel V
3222	Grupo C	172	Lítica Nivel V
3223	Grupo C	172	Muestra de Tierra Capa I
3224	Grupo C	172	Muestra de Tierra Capa II
3225	Grupo C	172	Muestra de Tierra Capa III
3226	Grupo G	PP12	Lítica
3227	Grupo G	PP13	Lítica
3228	Grupo B	171	Nivel Superficie II Lítica
3229	Grupo G	PP1	Lítica
3230	Grupo G	PP10	Lítica
3231	Grupo G	PP12	Lítica
3232	Grupo G	PP8	Lítica
3233	Grupo G	PP4	Lítica (obsidiana)
3233	Grupo G	PP12	Cerámica
3234	Grupo G	PP6	Cerámica
3235	Grupo G	PP8	Cerámica

3236	Grupo G	PP7	Lítica
3237	Grupo G	PP2	Lítica
3238	B14 Grupo B	171	Nivel I Lítica (obsidiana)
3239	B14 Grupo B	171	Nivel II Lítica
3240	B14 Grupo B	171	Nivel I Cerámica
3241	B14 Grupo B	171	Nivel Superficie I Cerámica
3242	B14 Grupo B	171	Nivel Superficie II Cerámica
3243	B14 Grupo B	171	Nivel Superficie II Cerámica
3244	B14 Grupo B	171	Nivel Superficie II Lítica
3245	B14 Grupo B	171	Nivel I Cerámica
3246	Grupo G	PP4	Cerámica
3247	Grupo G	PP6	Lítica
3248	B14 Grupo B	171	Lítica Nivel III
3249	B14 Grupo B	171	Lítica Nivel II
3250	B14 Grupo B	171	Nivel III Cerámica
3251	B14 Grupo B	171	Nivel II Lítica
3252	B14 Grupo B	171	Nivel III Xutes
3253	Grupo B	PP39	Lítica
3254	Grupo B	PP41	Lítica
3255	Grupo B	PP42	Lítica
3256	Grupo B	PP43	Lítica
3257	Grupo B	38	Lítica
3258	Grupo B	PP39	Lítica
3259	Grupo B	PP39	Lítica
3260	Grupo B	PP39	Lítica
3261	Grupo B	PP36	Lítica
3262	Grupo B	PP40	Lítica
3263	Grupo B	PP40	Cerámica
3264	Grupo B	PP39	Cerámica
3265	Grupo B	PP34	Cerámica
3266	Grupo B	PP34	Lítica y Obsidiana
3267	Grupo B	PP44	Lítica
3268	Grupo B	PP35	Lítica
3269	Grupo B	PP37	Lítica
3270	Grupo B	PP53	Cerámica
3271	Grupo B	PP33	Cerámica
3272	Grupo B	PP32	Cerámica
3273	Grupo B	PP30	Lítica
3274	Grupo B	PP30	Cerámica
3275	Grupo B	PP49	Cerámica
3276	Grupo B	PP48	Cerámica
3277	Grupo B	PP51	Cerámica
3278	Grupo B	PP35	Cerámica
3279	Grupo B	PP46	Lítica
3280	Grupo B	PP47	Cerámica
3281	Grupo B	PP48	Lítica (obsidiana)
3282	B14 Grupo B	171	Nivel II Xutes
3283	Grupo B	PP50	Cerámica
3284	Grupo B	PP49	Lítica

3285	Grupo B	PP44	Cerámica
3286	Grupo B	PP36	Cerámica
3287	Grupo B	PP31	Lítica
3288	Grupo B	PP37	Cerámica
3289	Grupo B	PP51	Lítica
3290	Grupo B	PP50	Lítica
3291	Grupo B	PP52	Cerámica
3292	Grupo B	PP49	Cerámica
3293	Grupo B	PP45	Cerámica
3294	Grupo B	PP33	Lítica
3295	Grupo B	32	Lítica
3296	Grupo B	PP41	Cerámica
3297	Grupo B	PP31	Cerámica
3298	B14 Grupo B	171	Muestra de Tierra Capa I
3299	B14 Grupo B	171	Muestra de Tierra Capa II
3300	Grupo B	PP45	Lítica
2799	G16 Grupo G	176	6 Nivel VI Lítica Raspador de pedernal